

NO. 56270ac7a3p08nd8 | 2025-05-05 19:39:16

- 题目: V3雷璟锟-2021级软件工程-嵌入式JS引擎模糊测试方法研究
- 作者: 雷璟锟
- 检测所属单位: -

📄 论文字符数: 29786 📄 论文页数: 44 📊 表格数量: 8 🖼️ 图片数量: 23

检测结果



4.05%

全文总相似比(复写率+他引率+自引率+专业术语)

相似结果详情

3.7%	0.0%	0.35%	0.0%
复写率	自引率	他引率	专业术语

其他指标

去除本人引用相似率: 4.05% 去除专业术语相似率: 4.05% 自写率: 95.95%

典型相似文章: 无

检测范围 | 1989-01-01 ~ 2025-05-05

- 中文科技期刊论文全文数据库
- 中文主要报纸全文数据库
- 古籍文献/图书资源
- 港澳台文献资源
- 博士/硕士学位论文全文数据库
- 中国专利特色数据库
- IPUB原创作品
- 年鉴资源
- 外文特色文献数据全库
- 中国主要会议论文特色数据库
- 互联网数据资源/互联网文档资源
- 维普优先出版论文全文数据库

相似片段

相似片段:

30	28	2
总相似片段	相似片段	引用片段

检测来源:

期刊 2	综合 2	外文 0
博硕 15	互联网 11	

引用文献汇总

引用文献来源: 2

序号	引用文献	引用字符数	引用率	来源
1	面向嵌入式JavaScript引擎的差分模糊测试方法研究 姚厚友 - 2021	63	0.28%	博硕
2	面向二进制软件的导向式漏洞分析技术研究 朱凯龙 - 2021	56	0.25%	博硕

相似文献汇总 (当前只展示10条数据,全部详情请查看片段对照报告)

相似文献来源: 24

序号	相似文献	相似字符数	相似率	来源
1	面向嵌入式JavaScript引擎的差分模糊测试方法研究 姚厚友 - 2021	138	0.61%	博硕
2	基于模糊测试的JavaScript引擎缺陷检测方法 周阳 - 2022	89	0.39%	博硕
3	基于标准文档分析的JavaScript引擎缺陷检测方法研究 田洋 - 2021	76	0.34%	博硕
4	基于文档解析和约束求解的组合Web服务测试用例生成 周立波 - 2015	61	0.27%	博硕
5	面向二进制软件的导向式漏洞分析技术研究 朱凯龙 - 2021	56	0.25%	博硕
6	C++代码测试覆盖率工具对比: Jacoco、gcovr与cpp ...	56	0.25%	互联网
7	深入剖析 JavaScript 编译器/解释器引擎 QuickJS - 多了解些 ...	55	0.24%	互联网
8	基本数据类型可以添加属性吗? 引言 在 JavaScript中, 数据 ...	49	0.22%	互联网

9	TypeScript 推断函数参数在TypeScript中的应用 极客教程	48	0.21%	互联网
10	互联网论文-47794	46	0.20%	互联网

文字标注

■ 自写片段 ■ 复写片段 ■ 引用片段 ■ 专业术语 ■ 自引片段

成绩	(采用四级记分制)
----	-----------



西北大学

本科毕业论文（设计）
题目：嵌入式JS引擎模糊测试方法研究
学生姓名 雷璟锟
学 号 2021117283
指导教师 叶贵鑫
院 系 信息科学与技术学院
专 业 软件工程
年 级 2021级
教务处制
二〇二五年六月
诚信声明

本人郑重声明：本人所呈交的毕业论文（设计），是在导师的指导下独立进行研究所取得的成果。毕业论文（设计）中凡引用他人已经发表或未发表的成果、数据、观点等，均已明确注明出处。除文中已经注明引用的内容

外，不包含任何其他个人或集体已经发表或在网上发表的论文。

特此声明。

论文作者签名：

日期： 2025年6月7日

摘要

随着物联网技术的快速发展，JavaScript凭借其灵活易用、交互性强和跨平台优势，在嵌入式系统开发中占据了重要地位，为了满足嵌入式设备的开发需求，面向嵌入式平台的JavaScript引擎不断涌现。为了提升嵌入式系统的稳定性与性能，确保所采用JavaScript引擎的可靠性显得尤为关键。然而嵌入式设备低内存、弱算力等资源受限的特性与JavaScript动态语言特性的结合，导致传统测试方法难以有效挖掘引擎的潜在缺陷。同时，由于其广泛应用于物联网终端、工业控制系统等关键领域，若引擎中潜在的缺陷未被及时检测修复，不仅会造成资源浪费，甚至引发嵌入式系统和应用的安全隐患。

为了检测嵌入式JavaScript引擎中的缺陷，本文提出了一种基于参数类型推断的测试用例变异方法，并与差分测试结合实现了模糊测试框架。具体研究内容如下：

(1) 对编译器进行模糊测试需要大量符合语法规义的测试用例，为满足这一需求，本文选取GitHub等主流开源代码平台中维护质量较高的JavaScript项目，并从中提取函数构建初始测试样本。

(2) 本文设计了一种基于参数类型推断的测试用例变异方法，基本过程为从函数定义中识别并抽取其参数列表，根据函数体内该参数的行为模式，分析该参数可能的数据类型，并基于各类型设计丰富的变异策略与自调用表达式，最终生成了大量语法规义正确、高覆盖率的测试用例。

(3) 本文设计并实现了EJSFuzz测试系统，并对多个主流的JavaScript嵌入式引擎进行了模糊测试，对发现的缺陷进行案例分析。通过与Fuzzilli，AFL等模糊测试工具进行对比实验，验证了EJSFuzz在代码覆盖率、漏洞发现率等方面的优势。

关键词：嵌入式JavaScript引擎 模糊测试 用例变异

Abstract

With the rapid development of IoT technology, JavaScript has gained significant prominence in embedded systems development due to its flexibility, ease of use, strong interactivity, and cross-platform advantages. To meet this demand, various embedded JavaScript engines have emerged. However, the combination of embedded devices' resource-constrained characteristics—such as low memory and weak computational power—with JavaScript's dynamic language features makes it difficult for traditional testing methods to effectively uncover potential defects in these engines. Moreover, given their widespread use in critical domains like IoT terminals and industrial control systems, undetected flaws in these engines may not only lead to resource waste but also pose security risks.

To address the challenges of testing embedded JavaScript engines, this paper proposes a fuzzing framework based on type inference combined with differential testing. The key contributions are as follows:

(1)Fuzzing compilers requires a large number of syntactically and semantically valid test cases. To obtain such inputs, this study crawls high-quality JavaScript projects from open-source code hosting platforms (e.g., GitHub) and extracts function bodies as preliminary test cases.

(2)This paper presents a type inference-based test case mutation method. First, it extracts function parameters and infers their data types by analyzing behavioral patterns within the function body. Then, it designs diverse mutation strategies and self-invocation expressions based on these types, ultimately generating a large set of high-coverage test cases that maintain syntactic and semantic correctness.

(3)Building on these methods, we design and implement a prototype system, EJSFuzz, and conduct fuzzing tests on mainstream embedded JavaScript engines. Case studies are performed on the discovered defects. Comparative experiments with state-of-the-art fuzzing tools (e.g., Fuzzilli, AFL) demonstrate EJSFuzz's superiority in terms of code coverage and defect detection rate.

Keywords: embedded JavaScript engines; fuzzing; test case mutation

目录

1 绪论	1
1.1 研究背景和意义	1
1.1.1 选题背景	1
1.1.2 选题意义	2
1.2 国内外研究现状	2
1.2.1 通用模糊测试的相关研究	2
1.2.2 JavaScript引擎的模糊测试方法	3
1.3 本文研究内容	4
1.4 本文组织结构	4
2 理论与实验论证	6
2.1 嵌入式JavaScript引擎	6
2.1.1 嵌入式JavaScript引擎简介	6
2.1.2 嵌入式JavaScript引擎运行原理	6
2.2 模糊测试理论	9
2.3 测试用例变异技术	10
3 基于类型推断的嵌入式JS引擎模糊测试方法	12
3.1 嵌入式JavaScript引擎模糊测试方法设计思路	12

3.1.1 方法概述 12

3.1.2 参数类型推断方法 14

3.2 基于类型推断的变异算法设计 15

4 系统设计与实验评估 18

4.1 系统设计概述 18

4.2 实验设置 24

4.2.1 实验对象 24

4.2.2 实验环境 24

4.2.3 实验步骤 25

4.2.4 评估指标与对比方法 25

4.3 实验结果分析 26

4.3.1 测试用例变异实验 26

4.3.2 差分模糊测试效果评估 28

4.3.3 对比实验分析 31

5 结论与展望 35

5.1 结论 35

5.2 展望 35

参考文献 37

1 绪论

1.1研究背景和意义

1.1.1选题背景

JavaScript是一门跨平台、动态类型、面向对象的脚本语言，由 Brendan Eich 于 1995 年在 Netscape 浏览器中首次推出。JavaScript的出现改变了HTML作为标记语言的局限性，为其注入了动态行为与用户交互能力，其语言简单、易于学习的特点让JavaScript不仅在Web领域大放异彩，在嵌入式开发领域也同样展现出独特优势。各类嵌入式JavaScript引擎如雨后春笋般涌现，如QuickJs、JerryScript, Hermes等，这些引擎被广泛的使用在资源受限的设备上。嵌入式JavaScript引擎的安全与性能问题面临着巨大的挑战，如何对JavaScript引擎高效测试的问题亟待解决。

作为软件生态的基础设施，编译器的正确性与可靠性不言而喻。编译器负责将人类可读的编程语句转换为机器码，这一转换过程严格遵循预定义的语言标准。语言规范明确定义了合法语法结构、语义约束条件以及对应的机器操作指令。各类编程语言均具备其独特的语法标准，并且这些标准会随着语言特性的演进而不断发展。语言规范的

复杂性使得程序员在阅读和理解时面临很大的挑战，同时也给编译器测试带来了巨大的困难。如果编译器有问题，可能导致语义变化、性能退化等严重问题。对于大多数的开发人员来说，这类问题很难被定位和发现。因此，早期对编译器的测试十分重要。目前编译器的测试方法有很多，包括兼容性测试、自举测试等。

在现代软件安全领域，模糊测试由于其高覆盖率和自动化能力，已成为一种被广泛采用的漏洞检测技术。其核心机制是通过自动化生成或特殊变异策略构造海量合法/非法的输入样本，将这些样本动态注入目标程序，触发程序出现诸如崩溃、内存资源泄露或逻辑紊乱等异常现象，从而暴露潜在漏洞。该技术可被划分为基于生成模型的方法以及通过修改现有输入实现的变异型方法。模糊测试适用于多种测试模式，不论是具备源代码访问权限的白盒测试、仅有部分信息的灰盒测试，还是完全未知结构的黑盒测试。自1988年威斯康星大学的Barton Miller教授提出模糊测试以来，模糊测试已被广泛应用到各个研究领域，包括编译器，网络协议，Web漏洞挖掘等。此外，它也常与其他测试方法相融合，例如结合差分测试用于揭示不同编译器版本间的行为差异，或借助动态污点分析与符号执行提升模糊测试在路径探索方面的能力。

1.1.2 选题意义

从软件测试的角度来看，编译器也是一种特殊的软件，其输入就是对应语言编写的程序。对于JavaScript引擎来说，测试用例即为符合语法和语义规范的JavaScript代码。然而传统的模糊测试工具由于生成策略单一（如AFL的位翻转），仅能对单个字节进行有效变异，很难兼顾语法正确性与语义丰富性，导致测试效率低下。ECMAScript-262是ECMA（欧洲计算机制造商协会）提出的一套JavaScript语言规范。Test-262则是由ECMA技术委员会维护的官方测试套件，旨在验证JavaScript引擎对ECMAScript语言规范的符合性。截止2025年3月，ECMA-262已经推出了第十五版规范——ES15；Test-262由220位贡献者提供了16000+测试用例。尽管如此，由于ECMA-262规范的复杂性、JavaScript语言的丰富特性，人工编写的Test-262还是无法完全涵盖JavaScript语言规范。

对于绝大部分JavaScript开发人员来说，核心关心点通常集中于确保自身编写的代码没有逻辑问题与安全风险，在这个过程中，开发者往往将JavaScript引擎视作可靠的黑匣子，默认它准确无误的执行和解析符合规范的代码，这种信任惯性往往导致开发者忽略引擎潜在的设计缺陷，最终产生安全问题。为了尽早的发现JavaScript引擎中存在的问题，设计一个高效的测试方法尤为重要。本文提出一种基于参数类型的测试用例变异方法，通过此方法可以基于原始语料库生成大量语法规则与语义丰富的测试用例，相比于传统的测试方法可以更广泛的覆盖JavaScript引擎中的各项功能模块与语言特性。此外，结合差分测试，通过分析不同JavaScript引擎的输出结果去探究其中潜在的漏洞。

本文基于此方法实现了EJSFuzz系统原型，在保证测试效率的情况下，尽可能去挖掘JavaScript引擎的潜在漏洞。因此，本研究对于嵌入式系统安全与JavaScript软件生态的发展有积极的现实意义。

1.2 国内外研究现状

1.2.1 通用模糊测试的相关研究

在自动化测试领域，模糊测试凭借其高效的缺陷检测能力已被信息安全领域的研究人员广泛应用，逐渐演变为漏洞挖掘过程中的关键分析手段。随着AFL++、LibFuzzer等工具的相继出现，这些工具以其良好的用户交互设计和简便的操作流程，极大地推动了模糊测试技术的广泛应用。下面介绍一些最新的模糊测试技术相关的安全研究。

Christian Holler等人提出了一种基于语法和代码片段重组的模糊测试框架LangFuzz^[1]，利用上下文无关的语

法随机生成有效程序，确保输入通过语法检查。从已知缺陷的测试套件中学习代码片段，通过替换和重组生成新测试用例，提高触发异常的概率。LangFuzz在Mozilla JavaScript引擎中发现105个高危漏洞。

Suyoung Lee等人将神经网络语言模型（NNLM）Montage^[2]用于JavaScript引擎模糊测试。Montage创新地将JS代码的抽象语法树（AST）分解为深度为1的子树片段序列，并基于LSTM（长短期记忆网络，Long Short-Term Memory）模型学习这些片段间的组合关系，生成语法和语义合理的测试用例。

Chenyuan Yang等人提出了一种基于大语言模型（LLM）的白盒编译器模糊测试框架WhiteFox^[3]，通过解析编译器优化的源代码，生成混合自然语言和伪代码的需求描述。根据需求自动合成符合触发条件的测试程序。通过反馈循环机制，将成功触发优化的测试作为示例动态优化提示词，并利用Thompson采样算法提升测试效率。该工作被PyTorch团队认可并推动了白盒模糊测试在复杂编译系统中的实用化。

Patrice Godefroid等人结合随机测试与符号执行技术提出了DART^[4]，通过动态分析程序执行路径并自动生成新测试用例，DART在程序运行时收集路径约束条件（如分支判断），随后对约束进行逻辑反演并调用求解器生成满足新路径的输入数据。

Xuejun Yang等人开发了随机测试工具Csmith^[5]。通过系统化生成随机C程序检测编译器缺陷。该方法创新性地构建语法约束模型，自动生成符合C99标准、严格规避191种未定义行为的合法测试代码，确保程序语义确定性。利用差分测试技术，将同一程序在不同编译器（如GCC、LLVM）及优化等级下的输出结果交叉验证，定位异常行为。

1.2.2 JavaScript引擎的模糊测试方法

Haoran Xu等人提出了一种基于图中间表示的JavaScript引擎模糊测试方法。FlowIR^[8]通过显式建模程序的控制流和数据流，支持细粒度语义变异，解决了传统AST和字节码IR在生成有效及语义有意义测试用例上的不足。作者设计了FlowIR的双向转换机制（JS代码图结构），并开发了原型工具FuzzFlow，实现了数据流子图变异（修改节点属性/输入）和控制流子图变异（节点调度/插入/删除）两类操作符，提升变异效率与语义有效性。研究成果验证了图结构表示在挖掘JS引擎深层漏洞中的显著优势。

Spandan Veggam等人提出了一种基于遗传编程的模糊测试工具IFuzzer^[13]。通过语法规则生成有效代码片段，运用交叉、变异等遗传操作进化测试用例，并结合代码复杂度与解释器反馈构建适应度函数，引导生成能触发异常行为的非常规代码。IFuzzer在Mozilla旧版SpiderMonkey中发现40个漏洞。

Sung Ta Dinh等人提出了一种针对JavaScript引擎绑定层代码的模糊测试方法Favocado^[7]，通过解析IDL文件或API参考手册提取绑定对象的语义信息（如方法参数类型、属性约束），确保生成的JavaScript测试用例语法和语义正确，成果凸显了语义感知与输入空间优化在绑定层测试中的有效性。

韩国科学技术院（KAIST）的HyungSeok Han团队提出了CodeAlchemist^[14]，一种基于语义感知的JavaScript引擎模糊测试工具。CodeAlchemist创新性地将种子代码分解为“代码块”，通过静态数据流分析和动态类型推断，为每个代码块添加组装约束，定义变量类型及依赖关系，确保组合后的代码在语法和语义上均有效。该方法无需手动编写语法规则，自动学习JS语义，凸显了语义感知方法在漏洞挖掘中的优势。

1.3 本文研究内容

本文提出了一种基于参数类型推断的测试用例变异方法，通过分析原始测试用例得到代码段的抽象语法树，提取语义信息，确定可进行变异的参数，根据数据类型执行变异，提升覆盖率与测试效率。具体研究内容如下：

(1) JavaScript引擎语法解析策略。研究引擎在处理JavaScript代码时如何生成并优化抽象语法树，确保代码的语法和语义信息正确，从而执行高效准确的变异。

(2) 测试用例变异策略，通过对JavaScript代码段的静态语法树分析，推断其可变异参数和数据类型，基于数据类型对该参数执行不同的变异策略，**从而发现引擎更深层次的缺陷与漏洞。**

(3) **设计并实现EJSFuzz系统**，通过对上述方法的研究，本文实现了EJSFuzz系统。对该系统的模块结构，算法流程做详细介绍，将其应用到各大主流嵌入式JavaScript引擎做模糊测试，评估该方案的可行性与实用性。

1.4 本文组织结构

第一章绪论。本章首先概述了JavaScript语言及其应用背景，编译器测试领域的相关研究，对当前JavaScript引擎测试的**现状进行了简要分析。最后阐明本文的研究的问题和研究目标。**

第二章理论与实验论证。本章主要阐述了本文测试对象JavaScript引擎的基本架构，系统中使用的模糊测试技术、测试用例变异技术。

第三章基于类型推断的嵌入式JS引擎的模糊测试方法。本章重点阐述了本文所提出的差分模糊测试方法的整体框架，详细描述了参数类型推断模块和变异算法的具体实现。

第四章系统设计与实验评估。本章主要介绍基于本文实现的嵌入式JavaScript引擎差分模糊测试系统EJSFuzz，介绍实验的设置与环境，然后对测试结果进行深入分析，并进一步评估实验的有效性。最后，探讨缺陷产生的根本原因并提出修复方案，同时与其他模糊测试工具进行对比实验。

第五章结论与展望。本章通过对实验数据的深入分析，揭示了差分模糊测试系统在推动嵌入式JavaScript引擎测试工作中的重要作用。此外，本文还指出了该系统在应用过程中的一些局限性，对未来的测试工作研究展望。

2 理论与实验论证

2.1 嵌入式JavaScript引擎

2.1.1 嵌入式JavaScript引擎简介

在互联网与物联网（IoT）蓬勃发展的今天，物联网开发日益火热，但这同时也暴露了许多问题。传统的物联网开发对开发者提出了较高的要求，开发者不仅需要具备扎实的C/C++语言基础，如指针操作、内存管理等底层机制，又要熟悉外设驱动的系统调用与寄存器状态读取等硬件交互方式，形成较高的技术准入门槛。开发流程层面，本地化编译-链接-下载的闭环工作流导致跨平台移植困难，同一功能场景在不同硬件架构中需重复构建固件，给物联网终端设备分散化、硬件碎片化与场景多样化的带来了巨大的挑战。JavaScript作为时下流行的Web开发语言，开发者社区活跃、解释型运行、移植性强等特性使其在嵌入式开发也有一席之地。另外JavaScript拥有大量现成的开源框架和工具，能大大简化开发流程。JavaScript语言本身高效又容易上手，其运行速度接近C语言，但写起来却简单得多，开发者通过封装好的方法就能控制设备。这样一来，既保证了性能，又能专注在业务功能开发上。

嵌入式设备是针对特定功能定制化设计的小型计算系统，相较于通用计算机，其核心特征体现在硬件资源的高度精简——成本低廉、计算性能有限、内存及存储空间较小，同时对低功耗运行有严格要求。要让JavaScript在这类设备上运行，必须为其开发专门的JavaScript解释器或编译器即JavaScript引擎。由于嵌入式设备的存储空间极为有限，JS引擎自身必须保持极小的体积，才能确保在资源受限的环境中稳定工作。因此传统的桌面端JavaScript引擎如Chrome V8、SpiderMonkey等并不适用于嵌入式环境。各类嵌入式JavaScript引擎应运而生，TinyEngine是由

阿里云设计的一款高性能JavaScript引擎，其专为嵌入式系统设计、资源占用少，可以做到在内存10KB大小的系统上运行。JerryScript是三星公司开源的轻量级JavaScript引擎，目前已应用于三星物联网生态与华为鸿蒙生态。

2.1.2嵌入式JavaScript引擎运行原理

JavaScript引擎负责解释和执行JavaScript代码，了解其内部架构对测试工作有重要意义。QuickJS 是 Fabrice Bellard继FFmpeg和QEMU的又一力作，于2019年开源在Github平台。QuickJS 只有210KB，体积小，启动快，解释执行速度快，支持最新 ECMAScript 标准。本节以QuickJs为例，介绍嵌入式JavaScript引擎的架构与工作流程。

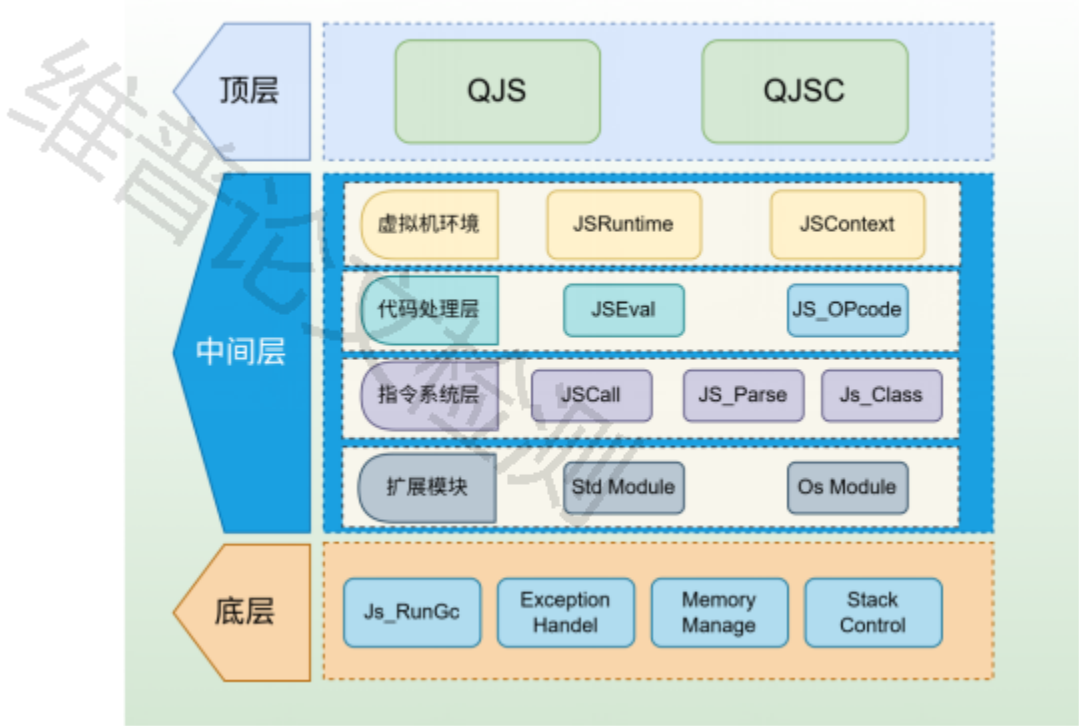


图2-1 QuickJs引擎架构

如图2-1所示，架构最顶层的是QJS与QJSC，其中QJS负责解析命令行参数、引擎环境的初始化、依赖模块的加载以及对JavaScript文件的读取、解释、执行；QJSC则负责对JavaScript源代码进行编译，输出可执行的字节码。

QuickJS的整体架构以中间层为核心，其运行时环境由多层级组件构成。在基础层，JSRuntime作为JavaScript虚拟机环境，提供相互隔离的独立运行空间，不同JSRuntime实例之间无法进行跨环境通信或调用。JSRuntime创建的JSContext虽然共享相同的底层运行时资源，但各自拥有独立的全局对象和系统对象。在代码处理层，源代码到字节码的转换通过JS_Eval和JS_Parse实现，生成的字节码由JS_Call负责解释执行。在指令系统层采用JS_OPCODE定义操作符标识，根据quickjs-opcode.h的定义，QuickJS采用紧凑型存储策略，8位以下指令与附加信息共享单字节空间，8位和16位指令分别占用2字节和3字节空间，整数参数直接嵌入后续字节。对象系统方面，JSClass构建了标准JavaScript对象模型，通过JSClassID实现类型标识。开发者使用JS_NewClassID注册新类型，JS_NewClass创建类定义，最终通过JS_NewObjectClass实例化对象。Unicode支持由独立模块libunicode.c实现，libunicode.c不仅完整覆盖Unicode规范化处理、脚本类别查询和二进制属性管理，还可作为独立库集成到其他项目。核心功能扩展层包含

多个专用模块：libbf库提供高精度数值计算的BigInt/BigFloat支持，libregex实现正则表达式引擎。系统能力通过扩展模块增强，Std Module封装标准功能集，OS Module则暴露文件操作、时间处理等系统级接口，共同构成完整的运行时能力体系。

最底层是基础，JS_RunGC 用于垃圾回收来防止野指针与内存泄露的出现，它通过引用计数法来判断对象是否可以被释放。JS_Exception通过JS_ThrowSyntaxError创建异常并抛出，返回的异常对象Error存储在 Context 中。

Memory Control负责管理 JS运行时的全局内存。Stack Control负责管理JS运行时的堆栈数据结构。

QuickJs引擎的工作流程如下：

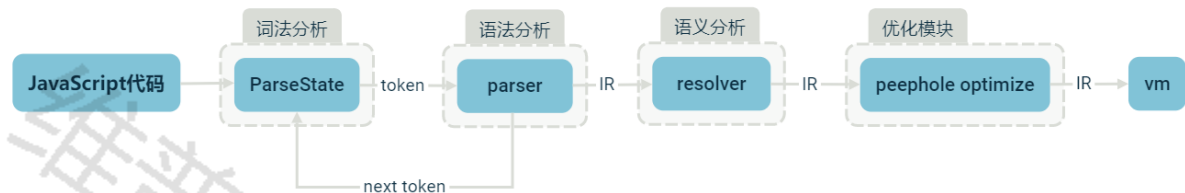


图2-2 QuickJs引擎工作流程

（1）代码字节流解析。首先，源代码经引擎读取后以字节流形式注入词法分析器。在词法处理阶段，分析器通过扫描机制逐字符检测JavaScript代码，依据预置分词规则执行代码解构：既剥离无意义的空白符与注释内容，又将有效元素封装成具有语义的单词符号（token），最终输出结构化的token流传输至语法解析器进行深度处理。

（2）语法分析。在这个阶段，语法解析器（Parser）接收词法层传递的token流输入，通过递归式替换操作逐步构造树形结构：首先将每个token映射为语法树节点，随后持续用终结符号替换产生式中的非终结符号，直至完成所有符号的实例化转换。最终，这些节点依据语法规则形成层级分明的树状数据结构，即抽象语法树（AST）。

（3）语义分析。Reslover模块的核心功能是执行语义分析，确保程序符合语言规范。其具体工作涵盖变量引用有效性验证、类型一致性推导、循环结构合规性检测（如break语句的合法使用），以及作用域规则审查。在完成上述静态检查后，该模块将IR输出至后续优化阶段。

（4）分析优化。优化模块首先选择需要优化的中间代码段，通常是相邻的几条指令，接着识别这些指令中的特定模式，如无用的加载、相同操作的重复或可合并的算术运算。识别后，编译器会应用优化策略，将冗余指令替换为更高效的指令或简化代码，例如将连续的加法合并为一次加法。随后，优化后的代码会被更新，确保逻辑与原始代码保持一致。最后，编译器会对更新后的代码再次进行分析，重复上述过程，直到无法进一步优化为止。

（5）解释执行。最终产生的IR会传递给VM执行，首先VM会加载字节码并初始化执行环境，随后进入主执行循环逐条读取和执行字节码指令。在这一过程中，VM解码指令并执行相应操作，同时管理栈帧以处理局部变量和返回值。此外，它还会监测异常并进行处理，并在适当时机触发垃圾回收以管理内存。执行完所有指令后，虚拟机会清理环境并返回结果。

2.2模糊测试理论

模糊测试是一种广泛用于评估软件健壮性与安全性的自动化技术，其基本思想是在无需详细了解系统内部结构的前提下，持续向目标程序注入大量非预期或随机生成的输入数据。通过观察系统在面对异常数据时的行为表现，以识别可能存在的漏洞或稳定性问题。为实现输入的自动生成，测试系统通常配备特定的用例生成模型，能够持续

构造具有多样性的测试输入并将其输入至被测软件。在程序运行过程中，监控模块实时捕捉崩溃、错误或其他异常信息，并记录触发条件与相关上下文信息。与传统的手工漏洞检测方式相比，模糊测试技术具有高度自动化、无需专业背景知识、适配范围广等优势，因而在编译器测试领域中被广泛采用。

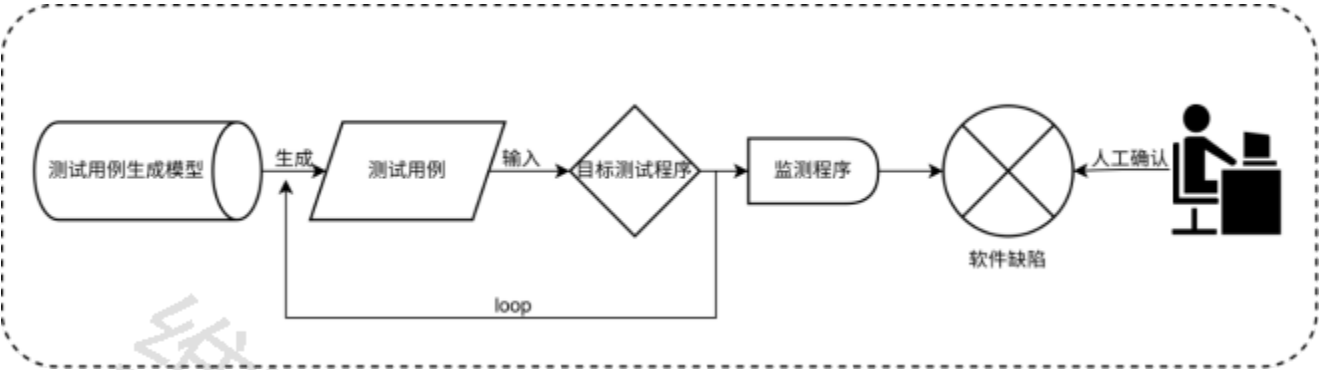


图2-3 模糊测试过程概述

如图2-3所示，模糊测试的基本流程分为四个阶段：测试用例生成、执行测试用例、异常监视以及漏洞确认。

（1）测试用例生成。为全面评估被测软件的稳定性与安全性，必须持续生成多样化的测试用例，而用例生成的策略对测试质量具有决定性作用。目前常见的方法大致可分为两类：生成型策略与变异型策略。生成型方法通常基于预设的语法规则或结构模板，通过一定的随机机制构造出新的输入数据，代表性工具如 jsfunfuzz。相较而言，变异型技术依赖于已有的测试样本，即“种子用例”，通过对其进行改写、重组或注入代码片段以形成新的测试样本。例如，LangFuzz通过拼接方式整合多个代码片段生成测试输入。生成式方法需要深入的领域知识以编写适合的规则，而突变式方法则更依赖随机性，可能难以触发特定漏洞。

（2）执行测试用例。在生成测试用例后，Fuzzer会将其输入至目标软件并执行，以观察软件对这些输入的反应。为了提高测试效率，该过程通常会自动化运行，并在有限时间内完成对大规模测试样本的快速执行，从而快速发现可能存在的异常情况。

（3）异常监视。在测试用例执行的整个过程中，Fuzzer会持续追踪被测程序的运行情况，并识别可能出现的非预期现象，如系统崩溃或逻辑功能失效等。一旦检测到这类异常，相关测试样本将被标记并保存。异常检测手段主要包括两类：一类是以进程级别为基础的检测方式，另一类则依赖于插桩技术。在进程监测方案中，模糊器以父进程的角色运行目标程序，并依据其返回状态码及异常信号推断运行中是否存在错误。而插桩检测则通过在源代码或可执行文件中注入辅助代码片段，从而在程序运行期间采集动态信息，从而对程序执行路径与状态进行进一步评估。

（4）漏洞确认。在完成测试和异常监视后，研究人员需要对收集到的异常数据进行人工分析，以确认是否存在真正的软件漏洞。这一过程不仅包括验证测试用例是否触发了缺陷，还需要分析漏洞产生的根本原因。通过结合自动化检测和人工分析，模糊测试能够有效提升软件漏洞的发现能力，并为安全性改进提供依据。

2.3测试用例变异技术

模糊测试需要大量测试用例作为输入。通过对原始测试用例实施特定变异策略，既能批量生成测试用例，又能有效提升代码覆盖率。测试用例变异技术的效果主要取决于两个关键因素：原始语料库的质量和变异策略的设计。原始语料库获取相对容易，可从开源项目、历史测试用例或实际运行日志中收集，这些都为测试提供了丰富的语

料。因此设计高效的变异策略是提升模糊测试效果的关键。

AFL (American Fuzzy Lop) 是一款基于遗传算法的开源模糊测试工具。目前，该工具已在多个主流软件项目中发现了数十个重大漏洞，涉及项目包括PHP、OpenSSL、pngcrush、Bash、Firefox、BIND、Qt和SQLite等。在对目标程序进行插桩后，AFL会对测试样例进行变异操作。主要的代码逻辑位于afl-fuzz.c。AFL变异的主要类型有下面这几种：

确定性变异：

- (1)bitflip (位翻转)：将1变为0，0变为1；即在二进制层面对数据位进行取反处理。
- (2)arithmetic (算术运算)：整数加/减算术运算
- (3)Interest (特殊值替换)：将AFL内置的边界测试值替换到原始测试用例中。

随机性变异：

- (4)Havoc (混合变异)：综合运用前述多种变异策略进行随机扰动。
- (5)Splice (文件拼接)：合并两个输入文件生成新样本，并对其执行Havoc变异。

AFL的变异策略主要针对线性二进制数据，而JS代码具有严格的语法和语义结构，随机变异极易生成无效脚本，降低测试效率。本文通过探索JavaScript语法树解析策略与参数类型推断方法，提升测试用例变异的有效性，从而最大限度的测试嵌入式JavaScript引擎。

3基于类型推断的嵌入式JS引擎模糊测试方法

3.1嵌入式JavaScript引擎模糊测试方法设计思路

在自动化的模糊测试中，验证测试方法有效性主要依赖两个关键因素：一方面是测试用例的生成质量，另一方面是缺陷检测方法的准确性。高质量的测试用例是发现潜在缺陷的基础，而高效的缺陷检测手段则决定了缺陷是否能够被及时且准确地识别。本文设计了一种基于类型推断的测试用例变异方法。通过该方法生成的测试用例语义信息丰富，能显著提升代码覆盖率和整体测试效率。

3.1.1方法概述

基于类型推断的JS引擎模糊测试方法的简要工作流程如图3-1所示：

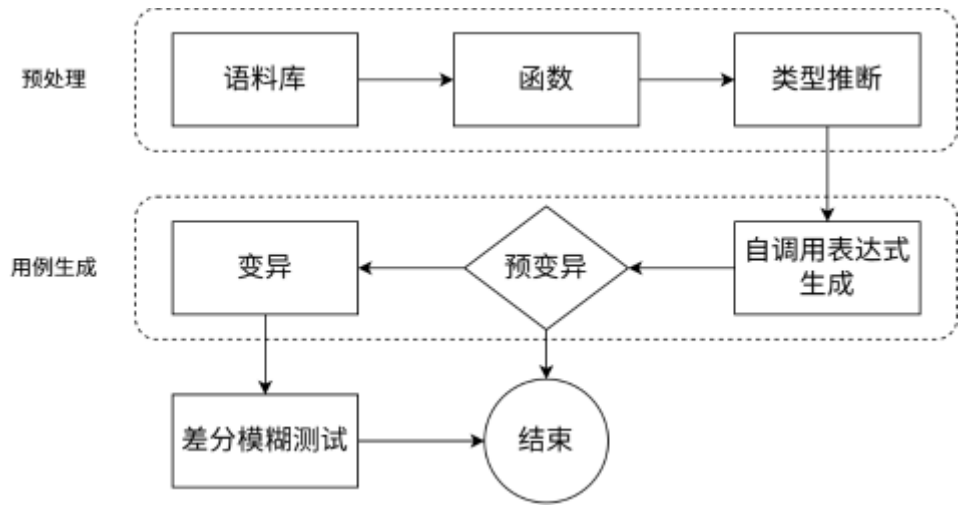


图3-1 嵌入式JavaScript模糊测试方法

在预处理阶段，首先会初始化数据，加载配置文件，读取语料库里的所有原始语料，接着需要从原始语料里提取上下文完整，语义丰富的函数体，这部分通过正则表达式实现，代码3-5展示了提取函数名的过程：

代码3-1 提取函数名算法

首先在代码字符串中查找“function”关键字，用于找到函数定义的起始位置，接着在“function”关键字之后查找第一个“(”括号来找到函数名结束的位置，截取“function”关键字和“(”括号之间的字符串来作为函数名，最后通过strip函数来去除空格。

提取函数体的算法与函数名类似：首先，它在文件内容中循环查找“function”关键字，以此确定函数定义的起始位置。一旦找到“function”，算法会提取从“function”关键字开始，直到与之匹配的闭合大括号“}”之间的所有字符，构成完整的函数体。为了简化函数头的格式，算法会将函数名部分进行替换，将类似于“function name(...)”的形式简化为“function(...)”。最后，将提取出的函数体添加到列表中，并重复此过程，直到文件内容被完全遍历。

通过前面的步骤提取到函数以后，我们需要显式的调用这个函数，即生成函数的调用表达式。在生成的过程中，我们需要根据函数的参数类型制定不同的生成策略，参数类型的推断方式将在下节介绍，而参数的生成策略需要我们自行设计，下面给出本文的设计策略，如图3.1所示：

表3.1 参数生成策略

参数类型	生成策略	示例值
字符串	随机生成指定长度的字符串，可以包含字母、数字和特殊字符	“abcde123!”, “xyz@#456”
数字	随机生成指定范围内的浮点数或整数	1.5, 10, 10.0, -50
布尔值	随机返回 true 或 false	True, false
数组	随机生成指定长度的数组，内容可以是任意类型，可以包含嵌套	[1,2,3], [“a”, ” b” ,” c”]
对象	随机生成指定属性的对象，属性值为随机类型，可以包含嵌套	{name:” John”, age:30, address:{city:” NY” , zip:” 1001” } }
函数	随机生成一个简单的函数	()=>Math.random()

生成自调用表达式后，一个完整的测试用例就已生成，随后对这个测试用例进行预变异，预变异的实现如代码3-2所示，在执行用例变异前差分运行这个测试用例，如果该测试用例存在参数类型错误，则不进行后续变异。通过预变异，可以避免上一步参数类型推断错误导致的问题，避免对无意义或不符合要求的测试用例进行进一步处理，提高测试效率。

代码3-2 预变异算法

通过预变异的测试用例则继续进行变异操作，具体的变异算法在上节已经介绍。变异后的测试用例存储在数据库里，差分运行这些用例并保存运行结果，通过对比运行结果，保存可能触发崩溃的JS文件到本地。

3.1.2 参数类型推断方法

由于 JavaScript 语言动态类型的特性，其变量在定义阶段不要求预先指定具体的数据类型，变量的类型只有在引擎执行时才能被确定。动态类型的设计为JavaScript带来了独特的灵活性与开发效率，也不可避免地引入了若干限制与问题，如代码的可读性低，类型错误只能在运行时暴露等。对于含有参数的函数，如果传入错误的参数会导致触发类型错误而提前中止测试流程，导致代码覆盖率降低，因此参数类型推断是执行精准变异不可或缺的一步。

JavaScript中共有8种基本的数据类型，其中值类型有6种：字符串、数字、布尔、空、未定义、Symbol。引用数据类型有3种：对象、数组、函数。在类型推断模块中，通过静态文本分析推断参数可能的数据类型，以图3-2为例讲解。

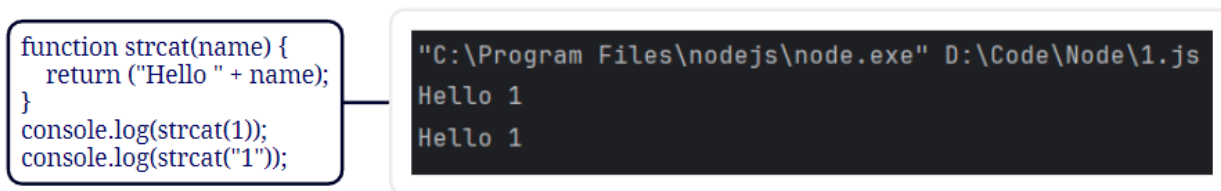


图3-2 运行结果图

左侧的代码展示了之前示范的字符串拼接函数，我们输入的参数分别为数字1和字符串“1”，看到程序打印了相同的结果，表明name参数可能接受的变量类型为字符串和数字。在参数类型推断时，首先我们需要提取函数里的参数，代码3-3 展示了提取的过程，首先通过左右括号索引定位参数位置，再通过分割符“，”获取各个参数名。随后将参数名与特征因子拼接，并在测试用例里统计拼接变量的个数。以strcat函数为例，我们将特征因子“+”与“name”拼接，统计“+name”的个数。统计发现，该函数字符串类型与数字类型的因子均为1，那么我们推断为字符串或数字。基于此结果，我们在后续的变异中执行字符串变异与数字类型变异。

代码3-3 提取函数参数

3.2 基于类型推断的变异算法设计

本文在上节介绍了一种JavaScript函数参数类型推断的方法，通过类型推断的结果我们可以对参数执行更加准确的变异，针对不同的类型设计丰富的变异策略，从而达到提高测试覆盖率的目的。

```
function fun(parameter){
  if (nparameter===true){
```

```
function fun(parameter){
  if (nparameter===true){
```

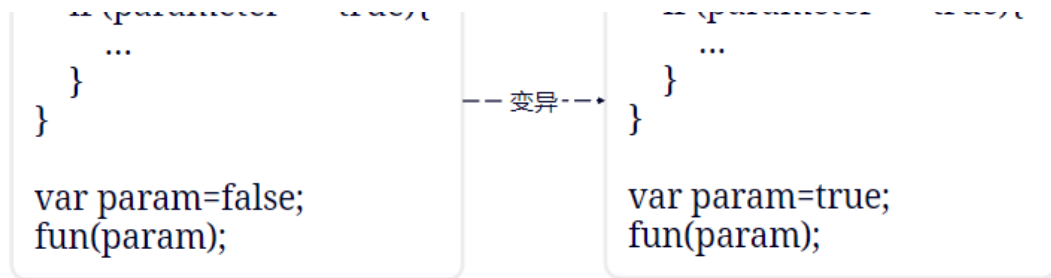


图3-3 测试用例变异

如图3-3所示，我们推断函数fun的参数parameter的类型为Boolean类型，那么就将输入取反，原本的输入无法通过if判断，导致更深层次的代码无法被执行，而变异后的输入可以通过if判断，更深层次的逻辑可以被触发，提高了测试用例的代码覆盖率。具体的变异策略如表3.2所示。

表3.2 测试用例变异策略

参数类型	变异策略	示例
Boolean	1. 翻转	true->false;false->>true
String	1. 大小写转换 2. 字符串截取 3. 字符串替换 4. 插入随机字符 5. 重复字符串 6. 替换为特殊字符 7. 插入Unicode字符	1. str.toUpperCase()、str.toLowerCase(); 2. str.substring(0, str.length-1); 3. str.replace("\a", "\b"); 4. str = str + String.fromCharCode(Math.random()); 5. str = str.repeat(2) 6. str = '!@#\$\$%' 7. str = str + '\u03A9'
Number	1. 值替换 2. 边界值变异 3. 符号翻转 4. 浮点精度调整 5. NaN替换 6. 随机值替换	1. let num = 0; 2. let num = Number.MAX_VALUE; 3. let num = -5; 4. let num = 3.14159; 5. let num = NaN; 6. let num = Math.random() * 100;
	1. 反转数组元素顺序 2. 随机打乱数组元素	1. arr.reverse() 2. arr.sort(() => Math.random() - 0.5)

Array	3. 插入空值 4. 插入未定义值 5. 删除随机元素 6. 清空数组 7. 嵌套数组 8. 替换为稀疏数组	3. arr.push(null) 4. arr.push(undefined) 5. arr.splice(Math.floor(Math.random() * arr.length), 1) 6. arr.length = 0 7. arr.push([...arr]) 8. arr = new Array(5)
Function	1. 函数替换 2. 参数增删 3. 返回值修改 4. 函数绑定修改	1. fun = () => {}; → fun = function() {}; 2. fun(a, b) → fun(a) 或 fun(a, b, c) 3. fun = () => 1 → fun = () => null 4. fun.call(obj) → fun.apply(obj)

下面对测试用例变异算法做简要介绍:

算法1 测试用例变异算法

输入: test_case_code: 输入的代码段 max_size: 函数变异次数, 默认为1

输出: result: 变异后的测试用例列表

```

1: FUNCTION mutate(test_case_code: STRING, max_size: INTEGER = 1) RETURNS LIST OF STRING
2:   SET self.max_size = max_size
3:   SET result = EMPTY LIST
4:   SET callable_proc = NEW CallableProcessor("callables")
5:   SET result_type = callable_proc.generate_self_calling(test_case_code)
6:
7:   IF result_type IS NOT NULL THEN
8:     SET params = SPLIT(result_type[0], ',')
9:     SET types = result_type[1]
10:
11:    FOR i FROM 0 TO LENGTH(params) - 1 DO
12:      SET param = params[i]
13:      SET type = types[i]
14:
15:      IF type CONTAINS 'string' THEN

```

```

16: FOR j FROM 0 TO self.max_size - 1 DO
17: APPEND stringmethod(test_case_code, [param]) TO result
18: END FOR
19: ELSE IF type CONTAINS 'integer' THEN
20: FOR j FROM 0 TO self.max_size - 1 DO
21: APPEND integermethod(test_case_code, [param]) TO result
22: END FOR
23: ELSE IF type CONTAINS 'boolean' THEN
24: FOR j FROM 0 TO self.max_size - 1 DO
25: APPEND booleanmethod(test_case_code, [param]) TO result
26: END FOR
27: END IF
28: END FOR
29:
30: RETURN UNIQUE(result)
31: END IF
32:
33: RETURN EMPTY LIST
34: END FUNCTION

```

代码3-4 测试用例变异算法

算法的解析如下：首先对输入的代码段，也即函数体，通过generate_self_calling函数生成它的调用表达式并获取函数的参数及类型存储到result_type里，保证函数的执行及后续变异的方向。接着遍历函数的参数，根据参数类型的不同执行不同的变异。在函数体内，提取前俩行作为start，其余部分作为end用于保存代码原始结构；从给定的多种变异策略中随机选择一个或多个，存储在变量arr1中；替换占位字符串sttr为实际变量名；使用for循环执行多次变异策略，最后拼接这些变量，生成完整的变异代码并返回，最后去重测试用例列表，确保返回的测试用例唯一。

4系统设计与实验评估

4.1系统设计概述

EJSFuzz系统的框架如图4-1所示，主要由语料库处理模块、测试用例处理模块、差分模糊测试模块、测试结果处理模块以及其他模块组成。





图4-1 系统框架图

下面对这些模块做详细的介绍：

(1) 语料库处理模块

本模块主要负责语料库相关操作。其中，语料库搜集模块是一个网络爬虫。该爬虫系统主要从Github等主流代码托管平台自动抓取JavaScript源代码文件，通过筛选和去重处理后，构建初始的种子语料库。语料库数据操作模块封装了系统中所有的SQLite数据库操作，如测试用例、测试结果以及相关元数据的存储、查询和更新功能等，并使用预编译处理所有的增删改查操作，语料库数据操作的类图如图4-2所示。语料库过滤模块负责过滤无效的测试用例，如重复、语法错误的测试用例。语法错误的测试用例会因为无法正确执行而拖慢测试的执行，降低测试效率。

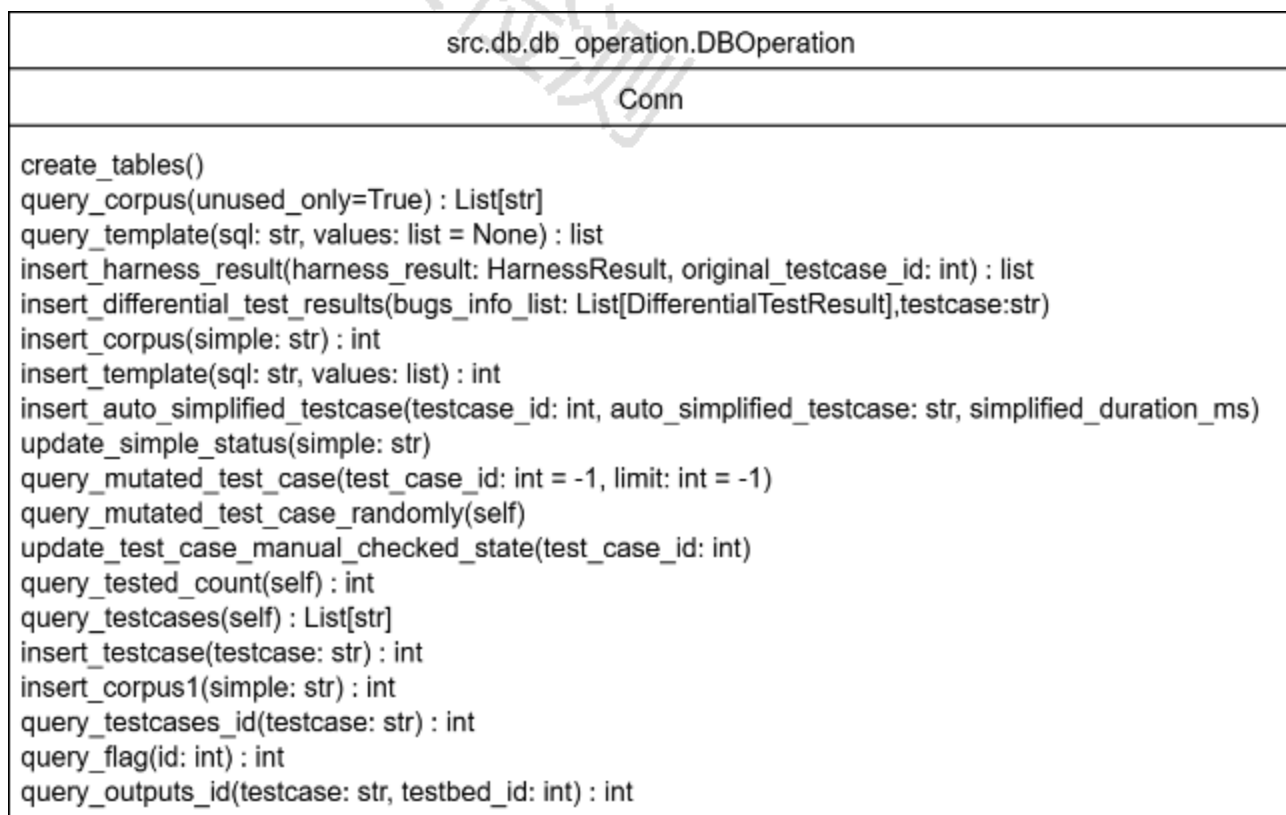


图4-2 语料库数据操作类图

(2) 测试用例处理模块

测试用例处理模块包括参数类型推断、测试用例变异模块、语法树解析与处理模块三个子模块。其中语法树解析与处理模块由Esprima库辅助实现，对其做简要介绍以帮助我们理解测试用例变异模块的实现流程。

代码4-1 esprima解析strcat函数

代码4-1是一段用esprima解析一个简单的字符串拼接函数的抽象语法树，最后以JSON格式输出。strcat函数解析的抽象语法树如图4-3所示：

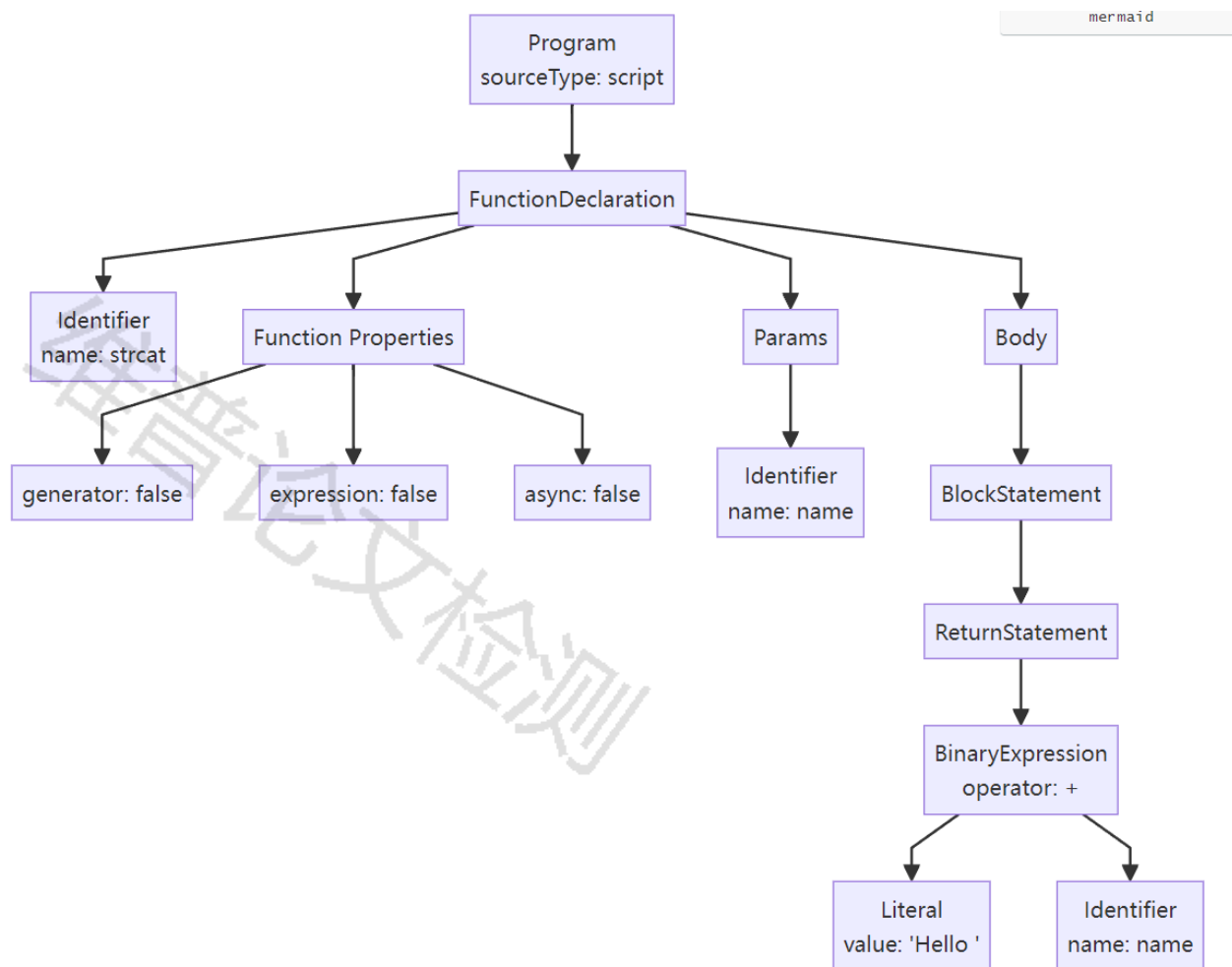


图4-3 strcat函数AST解析

通过该AST语法树可知，整段代码由一个FunctionDeclaration组成。函数名为strcat，保存在Identifier属性中，JavaScript抽象语法树中所有的标识符都保存在这个属性中。有一个参数名为name。函数体中有一个返回语句ReturnStatement，返回了一个二元表达式BinaryExpression。这个二元表达式的左操作数为字面量“Hello”，右操作数为变量name。Function Properties为函数属性，它表明了该函数非生成器、非表达式、非异步。

escodegen 是一款 JavaScript 代码生成库，它用于将抽象语法树结构重新构建为具备可执行特性的源代码，通常与解析器esprima配合使用，形成完整的代码解析-修改-生成 workflow。它可以根据输入的 AST 结构精准还原出符合规范的 JavaScript 源代码，并支持通过配置项控制代码格式（如缩进、分号、引号风格等），常用于构建代码转换工具、编译器或代码自动化处理工具。该库严格遵循 ECMAScript 标准，在保持代码语义一致性的同时，可完整保留原始代码的逻辑结构。

代码4-2 escodegen解析strcat函数抽象语法树

```
PS D:\Code\Node> node .\test.js
function strcat(name) {
```



```
return 'Hello ' + name;
}
```

图4-4 运行结果图

代码4-2先通过esprima库解析strcat函数为抽象语法树，再通过escodegen库还原为JavaScript代码，可以看到还原后的代码没有语法语义信息的损失，我们可以通过解析抽象语法树，遍历AST节点，对特定类型节点添加或修改来实现测试用例的变异，通过抽象语法树变异的策略更能满足测试中对JavaScript语法规则的要求，具体的变异方法已在上节介绍。

(3) 差分模糊测试模块

差分测试是一种通过对比不同系统或版本对相同输入的输出来检测差异的测试方法。其核心思想是向多个实现相同功能的系统提供相同输入，比较它们的输出或行为差异，通过这种方式，测试人员可以清晰地识别出不同实现之间的差异，从而发现潜在错误。图4-5展示了本系统的差分模糊测试流程，具体流程包括输入生成、多个系统的并行执行、输出收集与对比等步骤。

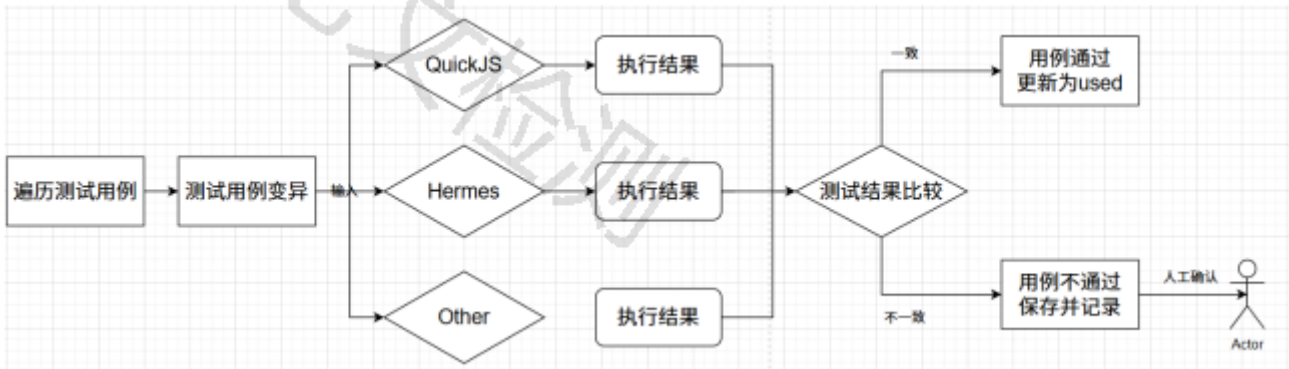


图4-5 差分模糊测试流程

(4) 测试结果处理模块

测试结果处理模块由俩个子模块构成。分别负责对测试结果进行裁剪以及对无效或冗余信息进行筛除。在执行差分模糊测试的过程中，不同JavaScript引擎在持续接收输入用例的情况下，往往会生成数量庞大的输出数据。由于缺陷信息可能混杂于这些测试结果之中，仍需借助人工手段对其进行比对与判别。然而人工分析时受重复测试结果的显著干扰，导致发现未知缺陷的成本大幅增加。由于测试结果复杂多样且可读性差，其重复性判断依赖主观评估，使得去重难度大幅提高。为实现对测试结果的有效去重与缺陷识别，本文设计了一种过滤方法来降低重复结果的测试的影响。具体设计思路如下：首先提取包括异常描述、脚本执行引擎名称、异常函数接口及其对应错误分类等在内的关键信息，并统一进行格式标准化处理。随后，利用这些规范化特征对测试结果进行匹配判断：若与已有记录相符，则视为重复数据而不予保留；若未在历史记录中出现，则暂存该结果以供进一步验证。

(5) 系统界面设计





图4-6 EJSFuzz系统主界面

打开EJSFuzz系统，首先会进入系统的主界面，如图4-6所示。主界面包括测试运行按钮与测试信息输出框。点击开始测试后即可执行模糊测试，并实时显示测试进度与测试输出。下方的详情栏展示了参与差分模糊测试的嵌入式JavaScript引擎。



图4-7 EJSFuzz系统配置界面





图4-8 EJSFuzz测试结果界面

图4-7展示了EJSFuzz系统的配置界面，其包括数据库配置、引擎配置、输出结果配置三个模块，其中数据库配置支持Mysql与SQLite3数据库，引擎配置列出了当前所有的JavaScript引擎，并提供增删改接口。输出结果配置支持我们自定义模糊测试结果输出位置。

图4-8是EJSFuzz系统的结果分析界面，当测试完成且测试结果输出后，我们需要对触发了错误的测试用例进行分析，该模块会获取所有的测试用例，在左侧列出文件名列表，右侧列出具体的测试用例。

4.2 实验设置

4.2.1 实验对象

本文的实验对象为嵌入式JavaScript引擎，在本次实验中选取常见的JavaScript引擎，具体的清单见表4.1：

表4.1 测试对象说明

引擎名	说明	链接
Hermes	Hermes引擎是Facebook开发的一款高性能JavaScript引擎。它通过减少内存占用和提升启动速度，增强了移动应用的性能。	https://github.com/facebook/hermes
QuickJs	QuickJS是由Fabrice Bellard开发的高效小型JavaScript引擎，具有极快的启动速度和低内存占用，适合嵌入式系统。	https://bellard.org/quickjs/
JerryScript	由三星公司开发的JerryScript是一款面向物联网的轻量级JavaScript引擎，专为内存受限环境优化。	https://github.com/jerryscript-project/jerryscript
	Duktape是一个可嵌入、移植的JavaScript引擎，体积小。它适合在	

Duktape	资源有限的环境中运行，能够在仅有160kB闪存和64kB RAM的平台上工作。	https://duktape.org/
MuJS	MuJS是一个轻量级的嵌入式JavaScript解释器。它注重小尺寸、正确性和简单性。	https://github.com/ccxvii/mujs
XS	XS是Moddable SDK中的JavaScript引擎，专为微控制器开发而设计。它实现了2023年JavaScript语言标准，具有超过99%的兼容性。	https://github.com/Moddable-OpenSource/moddable

4.2.2实验环境

硬件实验环境如下：

操作系统：Linux Ubuntu 20.04.6 LTS；内核版本：5.4.0-150-generic；

处理器：AMD EPYC 7532，3.3GHz；内存：128G

软件实验环境如下：

EJSFuzz系统的开发语言为Python 3.8.10，后端开发使用Flask 3.0.3框架，前端开发使用Vue Vite6.2.3版本。Node版本为v22.14.0。

4.2.3实验步骤

本论文通过对嵌入式JavaScript引擎进行差分模糊测试来挖掘其潜在漏洞，具体实验步骤设计如下：

① 测试用例变异效果评估：将EJSFuzz与目前主流的检测方法进行对比，将其他方法和本文用例变异方法生成的测试用例进行比较。

② EJSFuzz系统评估：使用本文实现的差分模糊测试工具EJSFuzz对选用的嵌入式JavaScript进行测试，从实验发现的缺陷类型与数量来说明本方法的有效性。

③ 对比实验评估：使用EJSFuzz系统与其他模糊测试工具在相同的环境与原始语料下同步测试，通过覆盖率、缺陷数量等指标来评估各个工具挖掘缺陷的能力。

4.2.4评估指标与对比方法

评估模糊测试包括多种指标，常见的有以下几种：

1) 代码覆盖率：在评估模糊测试性能时，代码覆盖率常被用作核心评估参数之一。该指标反映了测试用例在执行期间能够触达的程序路径相对于所有可能路径的比例。依据检测粒度的不同，覆盖率通常可分为以下几种类型：语句覆盖率，关注所有语句是否被运行；分支覆盖率，每个判断条件的所有分支是否均被执行；路径覆盖率，程序中所有的执行路线是否被执行。例如，若某程序包含 1000 行代码，而模糊测试仅触发其中 600 行的执行，则代码覆盖率为 60%。高覆盖率通常意味着测试更充分，能够暴露更多潜在漏洞。

2) 测试用例生成效率：测试用例生成效率反映用例生成模型在单位时间内生成有效测试用例的能力，通常以（用例数/秒）衡量。高效的模糊器应具备高吞吐量、低冗余性等特点。

3)漏洞发现率：漏洞发现率用于衡量某种检测手段对目标程序中已知安全缺陷的识别覆盖程度。更具体地说，它是指被测系统中，检测工具成功定位出的漏洞数量与系统内预先确认的漏洞总数之间的比例。例如，若某软件包含20个已知安全问题，而某检测工具能够发现其中的4个，那么该工具的漏洞识别率即为20%。因此，漏洞发现率越高，意味着该工具具备更强的缺陷检测能力。

为了进一步说明本文所提出方法的有效性，需要引入对比实验，将EJSFuzz与其他模糊测试工具进行对比十分必要。本文选择了AFL与Fuzzilli这两个模糊测试工具，相关工具的说明见下表4. 2：

表4. 2 对比实验对象说明

模糊测试工具	测试方法说明	链接
AFL	AFL采用基于遗传策略的自动化方法生成测试输入样本，依据路径遍历信息与覆盖率统计数据迭代优化流程，不断优化测试用例。	https://github.com/google/AFL
Fuzzilli	Fuzzilli定义了一种中间语言，采用基于覆盖率的指导方法，通过自定义中间语言（FuzzIL）来生成和变异测试用例。	https://github.com/googleprojectzero/fuzzilli

通过分析测试结果与对比实验，能准确评估EJSFuzz系统的模糊测试能力，并根据评估指标与具体漏洞，改进原型系统，进一步提升其模糊测试的能力。

4. 3实验结果分析

本实验对各大主流嵌入式JavaScript引擎进行模糊测试，以下从测试用例变异、模糊测试结果评估、对比实验结果等方面对实验结果进行分析评估。

4. 3. 1测试用例变异实验

参数类型推断的准确性对后续测试用例的变异起着至关重要的作用，为了验证本文所提出的参数类型推断方法的有效性，本文设计了对照实验来评估该方法的表现。

我们采用标准的对照实验设计，分为实验组和对照组，实验组使用我们提出的参数类型推断方法，对照组则采用传统的随机参数传递方法，俩个组采用相同的输入配置：一千份测试用例。俩个组的输出设置为五大JavaScript数据类型：Array、Boolean、Number、Function、String。在实验初期，通过人工分析提前对输入测试用例的参数类型进行统计，即可在实验结束后自动计算出准确率，最终得到的实验结果如下：

表4. 3 参数类型推断对比实验结果

	类型准确率				

分组	Array	Boolean	Number	Function	String
对照组	21.28%	9.94%	19.84%	15.32%	20.54%
实验组	86.71%	84.04%	90.10%	93.65%	89.79%

实验结果如表4.3所示，由于对照组采用随机策略，导致其类型准确率普遍偏低，范围为9.94%~21.28%。而在实验组中，各数据类型的准确率明显高于对照组。

代码4-3 用例变异前 代码4-4用例变异后

基于上述参数类型变异实验，我们进一步将此策略应用于测试用例变异模块，聚焦于五类参数类型的修改操作。代码4-3与代码4-4中分别呈现了变异实施前后，测试用例结构和内容的具体差异。

可以看到，在推断出data参数的类型为Array后，用例变异程序对data参数进行了多种变异，追加原始数组内容100次，在data数组前端添加了一万次“Lemon”和“Pineapple”字符串，最后创建了一个数组副本并排序。通过上述这些操作，使data数组的大小快速膨胀，从而有触发引擎潜在缺陷的可能。

在对JavaScript引擎进行模糊测试时，由于引擎通常会对输入代码进行严格的语法解析，若测试用例未能遵循JavaScript语言的结构和语义规范，将难以通过语法层面的有效性验证。因此，生成的代码片段必须满足基本的语言规则，以确保模糊测试顺利执行。JShint是一款JavaScript代码静态语法检测工具，我们可以通过这款工具静态检查变异后的测试用例，统计其中语法正确的测试用例，依据公式（4-1），计算语法正确的测试用例在总变异测试用例里的比例，以此衡量变异测试用例的质量。

语法正确性(α)= $\frac{\text{语法正确的测试用例}}{\text{变异的测试用例总数}}$ （4-1）

通过JShint工具验证与人工分析，在随机输入的1000个测试用例中，78个原始测试用例未通过语法检测，85个测试用例函数参数为空，未参与变异，837个测试用例进行参数类型推断后执行变异，其中661个测试用例语法正确，176个测试用例未通过语法检查。语法正确性为78.97%，相比于传统的逐字节变异方法正确性有了明显的提升。

4.3.2差分模糊测试效果评估

一个差分模糊测试系统的主要目的是有效地触发被测试引擎中的缺陷，本节使用EJSFuzz系统对4.1.1介绍的实验对象进行模糊测试，通过分析EJSFuzz系统所检测到的引擎缺陷数量，来说明本文方法的有效性。具体的触发情况如表4.4所示：

表4.4 引擎缺陷触发情况

引擎名称	缺陷数量
JerryScript	2

MuJs	3
XS	3
QuickJs	1
Duktape	2
Hermes	2

通过分析差分模糊测试结果，下面对本次实验中触发的崩溃案例进行分析，探究其缺陷触发的场景与原因。

一、崩溃案例分析

触发JavaScript崩溃的测试用例如代码4-5所示，它的参数data类型推断结果为Array，执行过Array变异。首先简单介绍该测试用例的语义：第一行声明了一个数组排序函数arraySort，它有一个参数data。函数体内，首先是对函数参数的变异，它将data数组的原始内容追加了1000次，使得数组的大小膨胀为原来的1001倍，最后调用数组的sort方法并返回排序后的数组。函数体外，首先定义了一个空数组a，接着向数组a里填充了1000个0到100的随机数，然后调用这个函数。最后是一个打印语句，表明如果该测试用例正常执行，那么则输出“right”字符串到控制台。

代码4-5 arraySort

图4-9展示了arraySort测试用例触发了JavaScript引擎的缺陷而导致崩溃并且没有任何错误输出，而其他引擎则正常打印出数组a的大小。这表明JavaScript引擎的sort实现与其他引擎不同，并且存在缺陷。

```
root@5d15f714c376:/home/EmbeddedFuzzer# python test.py /home/htm/1.js
|---engine---|---output---|---error---|
|---hermes---|---1001000---|---none---|
|---engine---|---output---|---error---|
|---qjs---|---1001000---|---none---|
|---engine---|---output---|---error---|
|---jerry---|-----|---触发崩溃---|
|---engine---|---output---|---error---|
|---xst---|---1001000---|---none---|
|---engine---|---output---|---error---|
|---duk---|---1001000---|---none---|
|---engine---|---output---|---error---|
|---mujs---|---1001000---|---none---|
```

图4-9 案例触发引擎崩溃缺陷

下面我们分析该案例造成JavaScript引擎崩溃的原因：JavaScript引擎的代码开源在GitHub上，其sort的实

现逻辑位于\jerry-core\ecma\builtin-objects\ecma-builtin-array-prototype.c，当JerryScript将未排序的数组拷贝到内部的排序缓冲区时，由于数组的大小过大，导致产生JERRY_FATAL_OUT_OF_MEMORY错误，即没有足够的内存分配给该缓冲区。通过打印Linux的特殊变量\$?与JerryScript的错误消息结构体定义也可佐证这一点。

```
typedef enum
{
    JERRY_FATAL_OUT_OF_MEMORY = 10, /**< Out of memory */
    JERRY_FATAL_REF_COUNT_LIMIT = 12, /**< Reference count limit reached */
    JERRY_FATAL_DISABLED_BYTE_CODE = 13, /**< Executed disabled instruction */
    JERRY_FATAL_UNTERMINATED_GC_LOOPS = 14, /**< Garbage collection loop limit reached */
    JERRY_FATAL_FAILED_ASSERTION = 120 /**< Assertion failed */
} jerry_fatal_code_t;
```

图4-10 JerryScript错误消息结构体定义

二、功能缺陷案例分析

JavaScript引擎功能的正确性直接影响到应用的稳定性与安全性，错误的计算或处理结果会导致逻辑错误，进而产生严重的缺陷甚至漏洞。同时由于功能缺陷难以调试和排查，开发人员需要花费大量时间修复，对软件生态有严重的影响。如代码4-6所示，该测试用例触发了Duktape引擎的功能缺陷。该测试用例的语义如下：1-4行定义了一个函数FuzzingFunc，函数体内定义了一个变量num并赋值为1，接着返回num变量与它自增的差值。第5行调用FuzzingFunc函数并将结果赋值给变量CallingResult，第6行打印CallingResult的值。测试用例的差分运行结果如图4-11所示，其他引擎都正确打印了0，但Duktape引擎错误地返回了1。

代码4-6 FuzzingFunc

```
root@5d15f714c376:/home/EmbeddedFuzzer# python test.py /home/htm/24-duktape.js
|---engine---|---output---|---error---|
|---hermes---|---0---|---none---|
|---engine---|---output---|---error---|
|---qjs---|---0---|---none---|
|---engine---|---output---|---error---|
|---jerry---|---0---|---none---|
|---engine---|---output---|---error---|
|---xst---|---0---|---none---|
|---engine---|---output---|---error---|
|---duk---|---1---|---none---|
|---engine---|---output---|---error---|
|---mujs---|---0---|---none---|
```

图4-11 案例触发引擎功能缺陷

经分析，Duktape引擎在执行num - num++这一操作时，首先执行了num++操作，num++操作会先赋值右操作数为1，然后进行自增，然而自增操作会影响左操作数num值变为2，而后进行减法运算得到错误结果1。正确的操作顺序为将左操作数num=1压入栈或存入寄存器，而后对num变量执行赋值自增操作，此时对num的修改不会影响到已经存入栈或寄存器里的值，且右操作数为先赋值后自增，它的值也为1。最后取出左右操作数和操作符，计算1-1得到正确结果0。

4.3.3对比实验分析

为进一步验证本文方法的有效性，本文将EJSFuzz与其他模糊测试工具进行对比实验，本文选择AFL与Fuzzilli作为对照组，其中AFL是经典的模糊测试工具，Fuzzilli也是近年来最先进的JavaScript引擎模糊测试工具之一。通过对比三种测试方法在代码覆盖率、测试用例生成效率、漏洞发现率来评估不同方法的优劣。

AFL的工作原理已在2.3节中介绍，在此简要介绍Fuzzilli的工作原理：

- Fuzzilli定义了一种中间语言FuzzIL，将JavaScript代码转换为FuzzIL来进行后续变异，FuzzIL能反映函数调用、循环等操作，具有易于静态推理、易于转换为JavaScript代码的特点。图4-12展示了从FuzzIL转换为JavaScript的示例。
- FuzzIL有四种基本突变方法：输入变异、操作符变异、拼接变异、代码生成。
- Fuzzilli通过覆盖率反馈来筛选有效测试用例，通过插桩监控引擎的代码覆盖路径，保留触发新覆盖路径的测试用例，并进一步变异探索新覆盖路径。

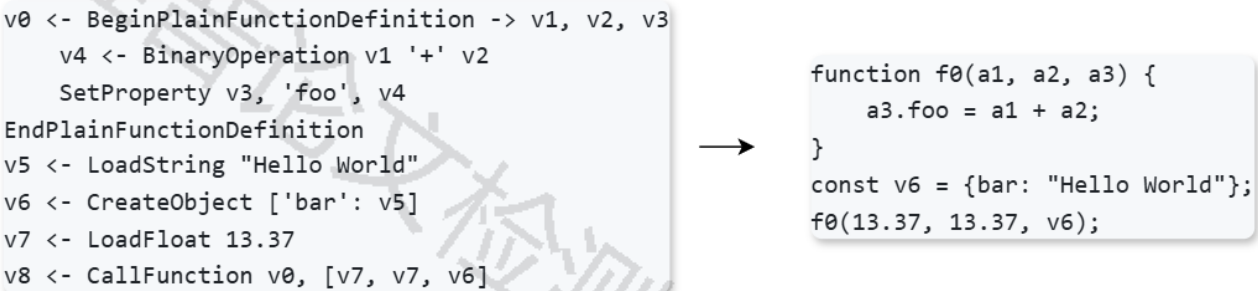


图4-12 FuzzIL与JavaScript转换图

代码覆盖率作为衡量测试用例执行效果的重要参数，能够较为直观地反映其在测试过程中的使用效率。通常而言，当覆盖率提升时，说明测试过程中已遍历更为广泛的程序路径，从而增强了测试用例在缺陷挖掘的有效性。通过对比不同工具所生成的测试用例的覆盖率，可以评估各测试方法在生成测试用例质量方面的优劣。具体的实验步骤为：对三个工具输入相同的1000条用例，并各自运行变异生成测试用例，最后计算各自的覆盖率并统计。



图 4-13 测试用例通过率与覆盖率结果对比

统计的结果如图4-13所示，可以看到EJSFuzz生成的测试通过率比Fuzzilli高，而覆盖率比略低于Fuzzilli，这是由于Fuzzilli是以覆盖率为导向的变异，因此生成的用例覆盖率高。而AFL两种指标都偏低，这是因为其作为一个通用模糊测试工具，无法有效处理JavaScript语言丰富的特性。测试用例生成效率通常指单位时间内工具生成的用例数，能反映工具用例变异策略的高效性与有效性，实验的结果如图4-14所示。

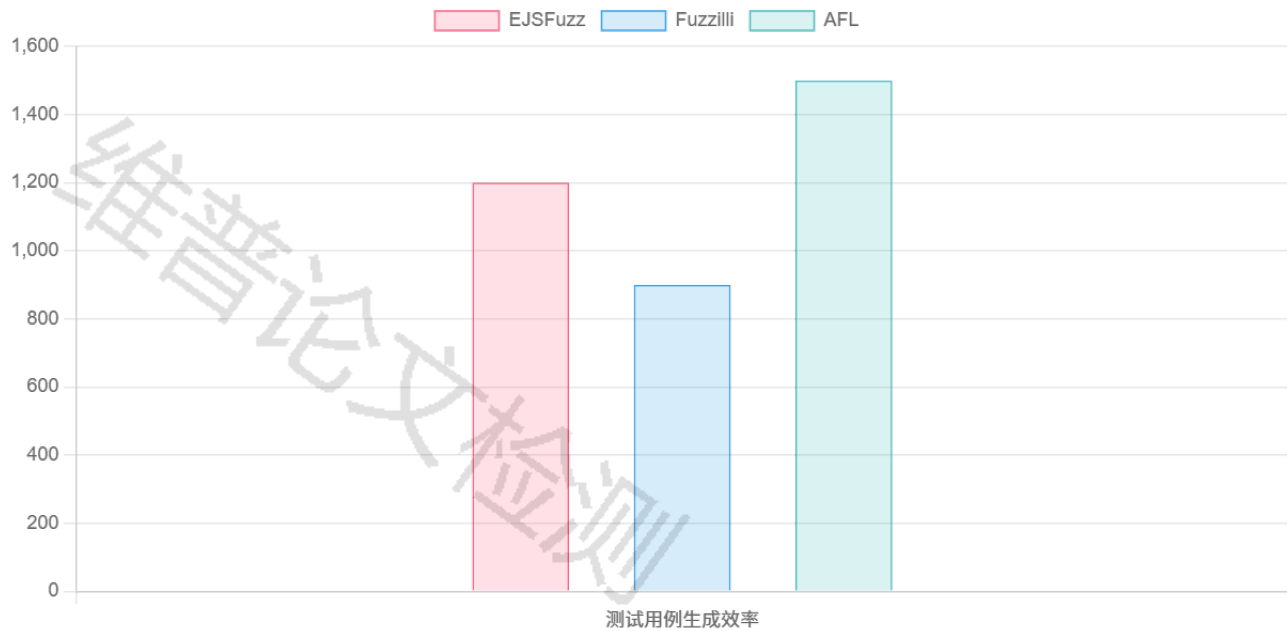


图 4-14 测试用例生成效率结果对比

结合测试用例的通过率、覆盖率与生成效率，我们可以看到EJSFuzz生成的测试用例质量各方面都有较为均衡的表现，为了进一步验证各模糊测试工具的缺陷检测能力，我们设计缺陷数量对比实验，即对比一定时间内不同工具触发的缺陷数量。

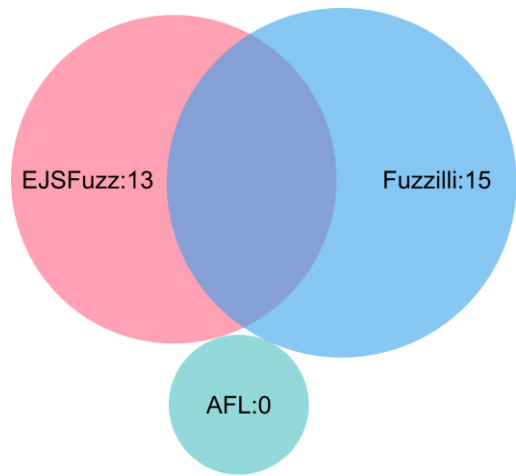


图 4-15 缺陷发现数量结果对比

图4-15展示了这次的对比实验结果，可以看到Fuzzilli检测到的缺陷最多，数量为15个，EJSFuzz紧随其后，检测到13个，而AFL未能检测出缺陷。这样的结果并不意外，因为Fuzzilli的工作原理依赖于对JavaScript引擎源代码

插桩从而实现覆盖率追踪，具有高度的定制性，对被测系统有较高的要求。AFL作为经典模糊测试工具在本次实验中的失效，则揭示了通用模糊测试在复杂语言环境的局限性。而EJSFuzz作为一种黑盒测试工具，结合类型推断的变异策略，既保持了黑盒方法的通用性，又显著提升了测试用例的有效性，最终让EJSFuzz在黑盒环境下，仍能实现接近白盒工具的检测效率，证明了本文提出的基于类型推断的差分模糊测试方法的有效性。

5 结论与展望

5.1 结论

物联网的飞速发展给JavaScript社区带来了新的活力与挑战。作为Web生态的核心语言，JavaScript凭借其动态特性、丰富的API支持以及庞大的开发者社区，正逐步向嵌入式领域扩展。这一趋势催生了众多优秀的嵌入式JavaScript引擎，随着各类引擎的广泛应用与功能性的不断提升，嵌入式生态对JavaScript引擎安全性与可靠性的要求也在快速提高，作为嵌入式生态的基础设施，JavaScript引擎的缺陷会导致大量的嵌入式设备面临风险，一个小的功能缺陷会让整个程序运行错误，性能缺陷会让本就资源受限的嵌入式设备难以正常工作，而安全缺陷甚至会成为物联网被攻破的入口。为了对嵌入式JavaScript引擎高效的测试，本文提出了一种基于类型推断的测试用例变异方法，并在此方法的基础上实现了EJSFuzz系统。

具体的研究内容如下：

（1）本文研究了当前具有代表性的软件模糊测试技术，并进一步对JavaScript引擎模糊测试方向已有的研究成果进行了归纳分析。测试用例生成模型很大程度上决定了模糊测试方法的有效性，当前主流的方法分为生成算法与变异算法，生成式算法很难生成涵盖语言的丰富特性，而传统的变异算法基于字节变异，无法兼顾用例语法语义的正确性。

（2）本文提出了基于类型推断的测试用例变异方法。JavaScript语言动态类型的特点使其无法在运行前进行静态类型检查。而类型推断模块通过分析参数在函数内部的操作模式，确定其数据类型，本文还根据数据类型的不同设计了丰富的变异策略，提升了测试用例的代码覆盖率。

（3）本文基于上述的测试用例变异方法实现了EJSFuzz系统，对系统内部各个模块做了简要介绍，并对关键的参数类型推断和用例变异算法进行详细描述。使用EJSFuzz对多款嵌入式JavaScript引擎进行缺陷检测，并与多款模糊测试工具进行对比实验，以代码覆盖率、测试用例生成效率、漏洞发现率为评估指标，最终的实验结果说明了本文模糊测试方法与EJSFuzz系统的有效性。

5.2 展望

相比于传统的模糊测试工具，本文提出的基于类型推断的测试用例变异方法与EJSFuzz系统测试效率更高效，但还是存在可以改进的地方，具体包含以下几个方面：

（1）本文结合了差分测试与模糊测试对嵌入式JavaScript引擎进行测试，然而差分测试存在一个局限，即当不同引擎对同一测试用例产生相异的输出时才能有效识别潜在缺陷，但如果被测引擎对某一语言特性的实现均存在错误，则会产生相同的错误输出，导致此类缺陷无法被检测，虽然各引擎同时出现相同错误的概率较低，但该问题确实存在，后续研究需探索针对此类情况的检测方案。

（2）本文提出的类型推断方案通过静态的参数行为计数来实现，可推断的参数类型受条件限制未能涵盖Object类型以及其他嵌套类型，而随着机器学习技术的飞速发展，可以通过训练相关模型来实现参数类型的推断，从而增

加测试用例的变异方向。

(3) 在对触发缺陷的测试用例进行分析时, 由于引擎触发崩溃导致执行中断, 给缺陷定位与分析带来了巨大的挑战, 后续应优化差分测试模块, 设计一套故障分析方案, 用于记录触发崩溃的调用栈、内存快照等关键信息。

参考文献

- [1]Holler C, Herzig K, Zeller A. Fuzzing with code fragments[C]//21st USENIX Security Symposium (USENIX Security 12). 2012: 445-458.
- [2]Lee S, Han H S, Cha S K, et al. Montage: A neural network language {Model-Guided} {JavaScript} engine fuzzer[C]//29th USENIX Security Symposium (USENIX Security 20). 2020: 2613-2630.
- [3]Yang C, Deng Y, Lu R, et al. Whitefox: White-box compiler fuzzing empowered by large language models[J]. Proceedings of the ACM on Programming Languages, 2024, 8(OOPSLA2): 709-735.
- [4]Godefroid P, Klarlund N, Sen K. DART: Directed automated random testing[C]//Proceedings of the 2005 ACM SIGPLAN conference on Programming language design and implementation. 2005: 213-223.
- [5]Yang X, Chen Y, Eide E, et al. Finding and understanding bugs in C compilers[C]//Proceedings of the 32nd ACM SIGPLAN conference on Programming language design and implementation. 2011: 283-294.
- [6]SOYEON PARK, WEN XU, INSU YUN, et al. Fuzzing JavaScript Engines with Aspect-preserving Mutation[C]//2020 IEEE Symposium on Security and Privacy: IEEE Symposium on Security and Privacy (SP 2020), 18-21 May 2020, San Francisco, CA, USA.:Institute of Electrical and Electronics Engineers, 2020:1629-1642.
- [7]Dinh S T, Cho H, Martin K, et al. Favocado: Fuzzing the Binding Code of JavaScript Engines Using Semantically Correct Test Cases[C]//NDSS. 2021.
- [8]Xu H, Jiang Z, Wang Y, et al. Fuzzing JavaScript Engines with a Graph-based IR[C]//Proceedings of the 2024 on ACM SIGSAC Conference on Computer and Communications Security. 2024: 3734-3748.
- [9]Groß S, Koch S, Bernhard L, et al. FUZZILLI: Fuzzing for JavaScript JIT Compiler Vulnerabilities [C]//NDSS. 2023.
- [10]Wang J, Zhang Z, Liu S, et al. {FuzzJIT}:{Oracle-Enhanced} Fuzzing for {JavaScript} Engine {JIT} Compiler[C]//32nd USENIX Security Symposium (USENIX Security 23). 2023: 1865-1882.
- [11]Bin, Zhang, Jiayi, Ye, Xing, Bi, 等. Ffuzz: Towards full system high coverage fuzz testing on binary executables. [J]. PLoS ONE. 2018, 13(5). e0196733. DOI:10.1371/journal.pone.0196733 .
- [12]Klaus Greff, Rupesh K. Srivastava, Jan Koutník, 等. LSTM: A Search Space Odyssey[J]. IEEE Transactions on Neural Networks and Learning Systems", "pubMedId": "27411231. 2017, 28(10). 2222-2232. DOI: 10.1109/TNNLS.2016.2582924 .
- [13]Veggiam S, Rawat S, Haller I, et al. Ifuzzer: An evolutionary interpreter fuzzer using genetic programming[C]//Computer Security - ESORICS 2016: 21st European Symposium on Research in Computer Security, Heraklion, Greece, September 26-30, 2016, Proceedings, Part I 21. Springer International

Publishing, 2016: 581-601.

[14] Han H S, Oh D H, Cha S K. CodeAlchemist: Semantics-aware code generation to find vulnerabilities in JavaScript engines[C]//NDSS. 2019.

[15] 喻垚慎, 黄志球, 沈国华, 等. 基于抽象解释的嵌入式软件模块化Cache 行为分析框架. 计算机学报, 2019, 42(10): 2251-2266

[16] 徐浩然, 王勇军, 黄志坚, 等. 基于前馈神经网络的编译器测试用例生成方法[J]. 软件学报, 2022, 33(6): 1996-2011. DOI:10.3969/j.issn.1000-9825.2022.06.004.

[17] 杨克, 贺也平, 马恒太, 等. 有效覆盖引导的定向灰盒模糊测试[J]. 软件学报, 2022, 33(11): 3967-3982. DOI: 10.13328/j.cnki.jos.006331.

[18] 喻波, 苏金树, 杨强, 等. 网络协议软件漏洞挖掘技术综述[J]. 软件学报, 2024, 35(2): 872-898. DOI:10.13328/j.cnki.jos.006942.

[19] 杨克, 贺也平, 马恒太, 等. 有效覆盖引导的定向灰盒模糊测试[J]. 软件学报, 2022, 33(11): 3967-3982. DOI: 10.13328/j.cnki.jos.006331.

[20] 梁杰, 吴志镛, 符景洲, 等. 数据库管理系统模糊测试技术研究综述[J]. 软件学报, 2025, 36(1): 399-423. DOI: 10.13328/j.cnki.jos.007048.

[21] 杨克, 贺也平, 马恒太, 等. 面向递增累积型缺陷的灰盒模糊测试变异优化[J]. 软件学报, 2023, 34(5): 2286-2299. DOI:10.13328/j.cnki.jos.006491.

[22] 崔展齐, 张家铭, 郑丽伟, 等. 覆盖率制导的灰盒模糊测试研究综述[J]. 计算机学报, 2024, 47(7): 1665-1696. DOI:10.11897/SP.J.1016.2024.01665.

[23] 王琴应, 许嘉诚, 李宇薇, 等. 智能模糊测试综述: 问题探索和方法分类[J]. 计算机学报, 2024, 47(9): 2059-2083. DOI:10.11897/SP.J.1016.2024.02059.

[24] 余媛萍, 苏璞睿. HeapAFL: 基于堆操作行为引导的灰盒模糊测试[J]. 计算机研究与发展, 2023, 60(7): 1501-1513. DOI:10.7544/issn1000-1239.202220771.

[25] 况博裕, 张兆博, 杨善权, 等. HMFuzzer: 一种基于人机协同的物联网设备固件漏洞挖掘方案[J]. 计算机学报, 2024, 47(3): 703-716. DOI:10.11897/SP.J.1016.2024.00703.

报告指标说明:

1. 复写率: 指相似或疑似重复内容在全文中的比重。

2. 自引率: 指引用本人发表内容占全文的比重, 需正确标注引用。

3. 他引率: 指引用他人内容占全文的比重, 需正确标注引用。

4. 专业术语率: 指公式定理、法律条文、行业用语等在全文中的比重。

5. 去除本人引用相似率: 指去除本人发表部分后, 相似或引用内容占全文的比重, 需正确标注引用。

6.去除专业术语相似率：指去除专业术语后，相似或引用内容占全文的比重。

7.自写率：指原创内容在全文中的比重。

8.典型相似文章：指相似或引用内容占全文总相似比超过30%的文章。

相似片段中“综合”包括：《中文主要报纸全文数据库》《中国专利特色数据库》《中国主要会议论文特色数据库》《港澳台文献资源》《图书资源》《维普优先出版论文全文数据库》《年鉴资源》《古籍文献资源》《IPUB原创作品》

须知：

- 报告编号系送检论文检测报告在本系统中的唯一编号
- 本报告为维普论文检测系统算法自动生成，仅对您所选择比对资源范围内检验结果负责，仅供参考。



微信公众号

唯一官网：<https://vpcs.fanyu.com> | 客服邮箱：vpcs@fanyu.com | 客服热线：400-607-5550 | 客服QQ：4006075550